

鹿児島高専 正員 村田 秀一 正員 ○ 岡林 巧
九州大学 正員 山内 豊聰 正員 後藤 恵之輔

1. まえがき 標高1100mの桜島は昭和30年に火山活動を再開して以来、今日まで持続して大小の爆発を繰り返している。山頂より標高500m位までは平均傾斜角20度の斜面をなし、古期火山噴出物と降下火山灰からなる裸地帯である。さらにこの裸地帯においては降雨に伴って激しい縱横侵食、表面侵食および崩壊が常時進行し、山体は荒廃の一途をたどっている。本研究は南九州の年降雨総量が1400~2500mmにも達し、日本でも有数の多雨地域に属するこことを踏まえ、火山灰砂斜面に対し、南九州特有の降雨パターンを導入した人工降雨実験を行い、降雨下における火山灰砂斜面の侵食崩壊について検討したものである。

2. 実験方法と試料の性質 本実験に用いた火山灰砂は、桜島南側の野尻川下流で採取した流出火山灰砂で粒径0mm以下もので、比重2.57、透水係数 $11 \times 10^2 \text{ cm/sec}$ ($K=1.48 \text{ cm/sec}$)、最大間隙比0.667、最小間隙比0.418および粒度組成は砾分20%砂分75%シルト分5%である。実験は図-1に示すような形状および寸法で斜面を形成した後、雨滴(1-2mm³)と噴霧(0-0.8mm³)を合併した、昆明型人工降雨装置を用い、降雨強度69, 115, 142, 164(mm/h)の4レベルを1サイクルとする降雨を降らせた。また、斜面傾斜角は降下火山灰砂斜面に傾斜した不透水層基盤がある場合を想定し、 $\theta_1=\theta_2=\theta_3=15^\circ$ と $\theta_1=\theta_2=15^\circ, \theta_3=0^\circ$ の2条件とした。

3. 実験結果および考察 表-1に実験の条件と結果を示す。 $\theta_3=0^\circ$ の傾斜角のいきな条件だけ崩壊が発生しなかったわけであるが、いずれの条件に関しても侵食が見られ、降雨に伴て斜面の飽和度が高まると同時に斜面先端から表面流が発生し、ついで微粒子が流逝され、斜面表面が不安定になると同時に加速度的に大きな粒子の移動が起る一連のパターンが認められた。また斜面中央に谷部を設けている斜面上降雨初期での侵食は主として各部に集中するが、表面流発生域の拡大に伴って斜面各所に発達し、侵食幅の増大とともに各侵食谷が発達するなどにより、斜面傾斜の尾根が発達する傾向が認められた。図-2は降雨時間と単位流出土量、浸透流出水量および表面流出水量の関係の一例を示したものである。浸透流出水発生は61分で、以後100分まで漸次増大し、ほぼ一定となる。このことから2サイクル目の最大降雨強度時直ちに斜面先端部分の飽和がほぼ完了したものと考えられる。このことは降雨強度が漸次低下していくにもかかわらず浸透流出水量が一定値を示していること、また表面流出水がこのようになり発生しつづけ侵食が止まっていることなどが裏付けられる。さらに表面流出水量は増大と共に流出土量が増大する傾向を示すが、これは流体力の増加によるものと考えられる。図-3(a)は降雨パターンを表わしたものである。また、(b)は降雨時間と降雨終量、間隙水量、浸透流出水量、表面流出水量および流出土量の累積値の関係をそれぞれ表わしたものである。図より明らかなように1サイクル分の60分には浸透水の発生が

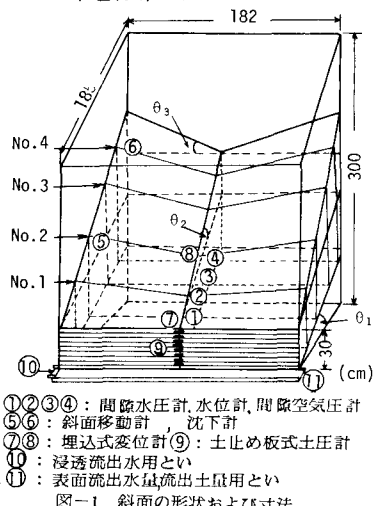


図-1 斜面の形状および寸法

表-1 実験の条件と結果

| 実験番号 | 降雨強度 $r(\text{mm}/\text{h})$ | 傾斜角 (°) | 実験の条件と結果 | | | | | | | | | | | |
|------|---------------------------------|---|------------|------------------------------------|--------------------|-------------------|--------------------|----------------------|---------------------|-----------------------|-------------------|------|-----|---------------|
| | | | 含水比 (%) | 湿潤密度 (g/cm^3) | 浸透水 発生時間 (分) | 侵食 発生時間 (分) | 表流水 発生時間 (分) | 間隙空気圧 発生時間 (分) | 間隙水圧 発生時間 (分) | 最大間隙水圧 発生時間 (分) | 崩壊 発生時間 (分) | 侵食形態 | | |
| 1 | 115 | $\theta_1=\theta_3=15^\circ$ $\theta_2=0^\circ$ | 5.4 | 1.722 | 45 | 67 | 60 | 5 5 45 | 10 45 45 | 45 55 | 70 90 80 | 90 | — | 崩壊なしシート侵食 |
| 2 | | | 5.6 | 1.730 | 62 | 106 | 102 | 15 20 10 | 5 65 70 | 90 110 | 110 130 | 130 | 131 | シート侵食 カリ侵食 |
| 3 | (10') | $\theta_1=\theta_2=15^\circ$ $\theta_3=69^\circ$ | 5.7 | 1.791 | 61 | 95 | 91 | 5 15 10 | 25 60 75 | 90 125 | 125 130 | 130 | 133 | シート侵食 カリ侵食 |
| 4 | | | 6.7 | 1.799 | 62 | 112 | 112 | 20 15 10 | 30 65 75 | 95 | — 115 | 115 | 116 | シート侵食 カリ侵食 |
| 5 | (5) | 164 | 6.0 | 1.789 | 49 | — | 101 | 5 65 25 | 20 55 60 | 80 | — 100 | 100 | 102 | シート侵食 |

なかつたことより降雨終量(133mm)100%は全面内の貯留は供されることはなく、子午斜面内の間隙水は表面流出水が発生して後も急増していながらこれは部分的に飽和領域

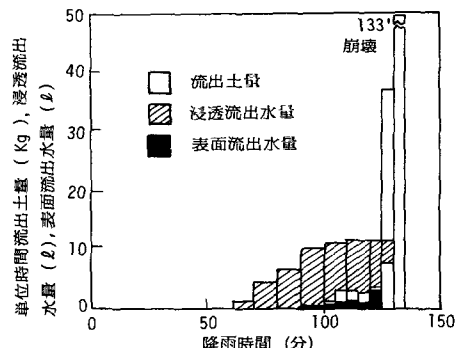


図-2 降雨時間と浸透流出特性

が拡大していることを意味している。さらに最初に浸透水が発生して後120~130分ではじめて定常状態が認められるが、この段階で斜面全体に水没したものと考えられる。図-3(c)は降雨時間と全面表面の鉛直直下量、および全面表層部の斜面方向の移動量の関係をNo.1, 2の断面について示したものである。図から同一地盤においても斜面方向の移動量が鉛直直下量に比べて早く、しかも大きいことが判る。また、No.1と2断面に関して侵食発生後の変化量を比較すると、下流側面であるNo.1断面の方が侵食深度が大きいことが判る。図-3(d)は降雨時間と間隙水圧、間隙空気圧の関係をそれぞれ示したものである。どの断面においても間隙水圧と間隙空気圧の変曲点は時間的に一致していることより、間隙空気圧としては変曲点以前の値もとも必要がある。間隙水圧に関しては斜面下流部にあるNo.1が早期に発生しているのに比べてしていって、上流断面のNo.2の方が高い値を示している。これはセンサーまでの層厚の異なりによるものと考えられる。図-3(e)は降雨時間と断面、およびエレベータ水位の関係を示す。前述の間隙水圧と同様な挙動を呈していることから、斜面の飽和領域が時間とともに上昇していることが判る。図-3(f)は、降雨時間と土止め板の表面ひずみの関係を示したものである。全面表層部の土圧が降雨によって前壊直前まで漸次増加しがち、終局的な崩壊以前に斜面内部ですべりを起していることが推測できる。

4まとめ 以上のことをまとめると次の二点が言えるようである。

1) ガリ侵食は、表面流出水が起れば発達する。

2) 斜面の終局的な崩壊は、浸透流出水量が定常化し、単位表面流出水量が急激に増大して時刻で起る。また、斜面の飽和度と密接な関係にある。

3) 実験番号2, 4, 5: 関しても定性的には図-2, 3に示された関係と同じである。

あとがき 本研究は鹿児島県桜島地域学術調査協議会による研究に参加して得られた成果の一部であることに、文部省科学研究費の補助を受けたものであることを付記する。さらに実験に際して終始協力を受けた鹿児島高車基礎工学研究室の平論主の折田豊、立山広行、枝瀬時徳および物販信昭君に感謝の意を表す。

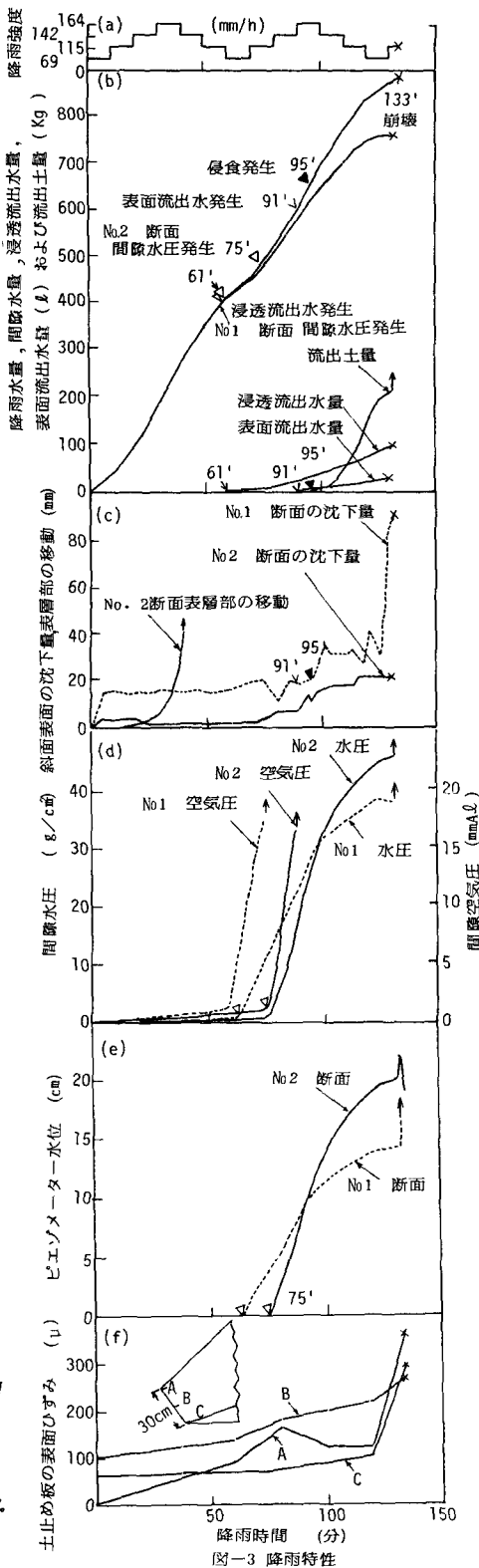


図-3 降雨特性